

وزارت علوم، تحقیقات و فناوری



دانشگاه دامغان

دانشکده علوم زمین

پایان نامه کارشناسی ارشد زمین شناسی (گرایش اقتصادی)

بررسی خصوصیات زمین شناسی و کانی شناسی زئولیت های
معدن افتر سمنان به منظور رفع فلزات سنگین از نمونه هی آب

توسط:

سمانه پیروی

استادان راهنما:

دکتر رضا ظهیری

دکتر کاظم مرادی هرسینی

تیرماه ۱۳۹۰

دُنْيَا

وزارت علوم، تحقیقات و فناوری

دانشگاه دامغان

دانشکده علوم زمین

پایان نامه کارشناسی ارشد زمین شناسی (گرایش اقتصادی)

بررسی خصوصیات زمین شناسی و کانی شناسی زئولیت های
معدن افتر سمنان به منظور رفع فلزات سنگین از نمونه هی آب

توسط:

سمانه پیروی

استادان راهنما:

دکتر رضا ظهیری

دکتر کاظم مرادی هرسینی

تیرماه ۱۳۹۰

به نام خدا

بررسی خصوصیات زمین‌شناسی و کانی‌شناسی زئولیت‌های معدن افتر سمنان به
منظور رفع فلزات سنگین از نمونه‌ی آب

به وسیله‌ی:

سمانه پیروی

پایان‌نامه

ارائه شده به تحصیلات تکمیلی دانشگاه به عنوان بخشی از فعالیت‌های لازم برای اخذ
درجه کارشناسی ارشد

در رشته‌ی

زمین‌شناسی (گرایش اقتصادی)

از دانشگاه دامغان

ارزیابی و تایید شده توسط کمیته پایان‌نامه با درجه: عالی

دکتر رضا ظهیری، استادیار رشته زمین‌شناسی و گرایش کانی‌شناسی، دانشکده علوم زمین،
دانشگاه دامغان (استاد راهنما)

دکتر کاظم مرادی هرسینی، استادیار رشته زمین‌شناسی و گرایش مهندسی (استاد راهنما).

دکتر نادر تقی‌پور، استادیار رشته زمین‌شناسی و گرایش اقتصادی، دانشکده علوم زمین، دانشگاه دامغان
(استاد داور)

دکتر قاسم قربانی، استادیار رشته زمین‌شناسی و گرایش پترولوزی، دانشکده علوم زمین، دانشگاه دامغان
.....
(استاد داور).....

دکتر هادی شفائی مقدم، استادیار رشته زمین‌شناسی و گرایش پترولوزی، دانشکده علوم زمین، دانشگاه
دامغان (نماینده تحصیلات تکمیلی).....

تیرماه ۱۳۹۰

به پاس عاطفه سرشار و کرمای امید نخش وجودشان که در این سردترین روزگاران، بسترن پشتیان
است به پاس قلب‌هایی بزرگشان که فریادس است و سرگردانی و ترس درپنهانشان به شجاعت
می‌کراید و به پاس محبت‌هایی بی‌دینشان که هرگز فروکش نمی‌کند.

تقدیم به پدر و مادر عزیزم

تقدیم به همسر عزیزم

که در ناملایات زنگی همیشه به محبت بی‌دینش تکلیه زده‌ام.

پاسکلزاری

همه وجودم تقدیم به آن بزرگ مرتبه‌ای مقدار تنها ولایت است آن عزیزی که اگر آهنگ
متوازن نگیر و همراهی اش نبود زندگی معنا و مفهومی نداشت. ای خدای هر بودن، امیدم تو
هستی و شاکرم براین که توفیق این راه را برایم عرضه کردی که بندگی فقط تور اسنود و اقرار با همه وجودم
دارم که آنچه که داده‌ای بیش از شایستگی من است اگرچه این در خور بخندگی توست.

اکنون که بیاری خداوند متعال و لطف و عنایت حضرت دوست، آن پژوهش به پیان رسیده،
بر خودمی دانم که بانهایت تواضع و باحال افتخار و سربلندی از زحمات بی‌دین اساتید که اتقدر جناب
آقای دکتر ناصری و جناب آقای دکتر مرادی که درس صبر و استفامت از ایشان آموختم مشکر
و قدردانی کنم.

از اساتید محترم جناب آقای دکتر مصدق و جناب آقای دکترا هری پور نهایت پاس و مشکر را
دارم. از اساتید ارجمند، جناب آقای دکتر تقی پور و جناب آقای دکتر قربانی که با پیر فتن

داوری این پایان نامه مرا از نقطه نظرات ارزشمند شان برهه مند نمودند، و نیز از ناینده محترم
تحصیلات تکمیلی، جناب آقای دکتر رفیعی مقدم کمال مشکر را دارم.

از سرکار خانم حسن زاده مسئول واحد XRF، جناب آقای مهندس مسعودیان مسئول
واحد ICP و جناب آقای ترابی مسئول کارگاه مقطع کیری نهایت مشکر و سپاکنزاری را دارم.
همچنین از دوستان و همکلاسی های عزیزم جناب آقای نادر دستانی و خانم ها سلیمانی و محمدی به خاطر تمام
لطف ها و محبت هایشان و همچنین به خاطر مطالب و نکاتی که بی منت به من آموختند، سپاکنزاری می-

نمایم:

مجموعه این عزیزان، نه تنها بهترین دوران تحصیلی ام بلکه بهترین دوران زندگی ام را رقم زدم. خدا
را شکر کرم که افتخار آشنایی با این عزیزان نصیبم شد. نام، یاد و خاطره آنها هرگز از ذهنم پاک نخواهد
شد. برای همه آنها یک نامشان برده شده بیانه، از صمیم قلب آرزوی سلامت و سعادت دارم و
امیدوارم در تمامی مراحل زندگی شان موفق باشند.

چکیده

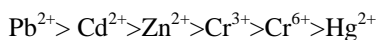
بررسی خصوصیات زمین‌شناسی و کانی‌شناسی زئولیت‌های معدن افتر سمنان به منظور رفع فلزات سنگین از نمونه‌ی آب

به وسیله‌ی:

سمانه پیروی

توالی توف‌های زئولیتی شده در منطقه افتر با سن اوسن – الیگوسن در شمال غرب روستای هفر (افتر) و ۳۲ کیلومتری شمال غرب سمنان واقع شده است. این ناحیه از نظر ساختاری در پالئوزوئیک میانی و بخشی از البرز مرکزی به شمار می‌آید. بر اساس مطالعات کانی‌شناسی و زمین‌شناسی انجام شده که بر پایه نتایج حاصل از داده‌های پرتو اشعة X (XRD)، آنالیزهای ژئوشیمیایی (XRF) و بررسی مقاطع نازک بر روی نمونه‌های برداشت شده از این منطقه است، سه لایه با اهمیت در روند تشکیل زئولیت تشخیص داده شده‌اند عبارتند از: ۱- مارن‌های سبز با میان لایه‌های ماسه سنگی، ۲- توف‌های سبز رنگ، ۳- لایه زئولیتی.

در این پژوهش با استفاده از زئولیت‌های معدن افتر (کلینوپتیلولیت و هیولاندیت) به توانایی این زئولیت‌ها در رفع فلزات سنگین از نمونه‌ی آب می‌پردازیم. برای این منظور در ابتداء زئولیت خرد و در اندازه‌های ۱mm، ۰/۷۱mm و ۰/۲۵mm دانه‌بندی شده و با استفاده از آزمایش بار افتتان مورد بررسی قرار گرفته‌اند. با استفاده از این روش و نتایج به دست آمده از آنالیزهای ICP و محاسبه پارامتری چون K (نفوذپذیری) نشان داده شده است که زئولیت‌های معدن افتر توانایی جذب فلزات سنگینی همچون Pb(II), Cr(VI), Hg(II), Zn(II) و Cd(II) را دارا می‌باشند. گزینش پذیری زئولیت‌های افتر برای جذب این عناصر به صورت زیر می‌باشد:



فهرست مطالب

عنوان	صفحه
فصل اول:(کلیات)	
۱ ۱- تاریخچه	۱
۲ ۲- مشخصات زئولیت	۱
۴ ۳- ساختار زئولیت	۱
۶ ۴- نحوه تشکیل زئولیت	۱
۸ ۱-۱- تشکیل زئولیت در سنگ‌های آذرین	۱
۹ ۱-۲- دریاچه‌های شور قلیایی (سیستم هیدرولوژیکی بسته)	۱
۹ ۱-۳- تشكيل زئوليت در سنگ‌های رسوبی	۱
۹ ۲-۲- تشكيل زئوليت در خاک‌ها و نهشته‌های سطحی	۱
۱۰ ۲-۳- تشكيل زئوليت در بخش‌های ژرف دریا	۱
۱۱ ۴-۲- تشكيل زئوليت در سистем‌های هیدرولوژیکی باز	۱
۱۲ ۳-۴- نحوه تشكيل در سنگ‌های دگرگونی	۱
۱۳ ۱-۳-۴- سنگ‌های دگرگونی درجه پایین	۱
۱۳ ۱-۱-۳-۴- ۱- محیط‌های گرمابی	۱
۱۵ ۲-۱-۳-۴- ۲- دیاژنز دفنی	۱
۱۶ ۲-۳-۴- ۲- سنگ‌های دگرگونی مجاورتی	۱

۱۸ ۴-۴-۱- زئولیت‌های مصنوعی
۱۸ ۵-۱- کاربردها
۱۹ ۱-۵-۱- تبادل کاتیونی و جذب سطحی
۲۰ ۱-۵-۲- فیلتر (غربال) مولکولی
۲۰ ۱-۵-۳- خاصیت جذب آب و جذب یونی
۲۱ ۱-۵-۴- جذب کننده انتخابی
۲۱ ۱-۵-۵- کاتالیست
۲۱ ۱-۵-۶- مبادله کننده یونی
۲۲ ۱-۵-۷- رفع فلزات سنگین
۲۵ فصل دوم: (زمین‌شناسی منطقه)
۲۶ ۲-۱- مقدمه
۲۶ ۲-۲- موقعیت جغرافیایی منطقه
۳۰ ۲-۳- زمین‌شناسی منطقه
۳۳ ۲-۴- واحدهای لیتوژوژی منطقه افتر
۳۷ فصل سوم: (کانی‌شناسی)
۳۸ ۳-۱- مقدمه
۳۸ ۳-۲- مطالعات صحرایی
۴۴ ۳-۳- مطالعات XRD و XRF
۴۴ ۳-۳-۱- بررسی آنالیزهای XRD
۴۷ ۳-۳-۲- تعیین ترکیب شیمیایی زئولیت‌ها بر اساس آنالیزهای XRF
۵۱ ۳-۴- مطالعات میکروسکوپی
۵۲ ۴-۱- مارن‌های سبز رنگ با میان لایه ماسه سنگی
۵۳ ۴-۲- هیالوتوفهای سبز رنگ
۵۵ ۴-۳- لایه زئولیتی
۵۷ ۴-۵- نحوه تشکیل زئولیت در معدن افتر
۵۹ فصل چهارم: (بررسی آزمایشگاهی زئولیت‌های معدن افتر در رفع فلزات سنگین)
۶۰ ۴-۱- مقدمه
۶۱ ۴-۲- روش انجام آزمایش
۶۱ ۴-۲-۱- آماده سازی زئولیت

۶۲	۴-۲-۲- نحوه انجام آزمایش بار افتان
۶۴	۴-۳- روش تهیه نمونه آب
۶۴	۴-۳- عبور نمونه آب از لوله زئولیتی با استفاده از آزمایش بار افتان
۶۵	۴-۱- جذب سرب (Pb^{2+})
۶۷	۴-۲- جذب کادمیوم (Cd^{2+})
۷۰	۴-۳- جذب کرم (Cr^{3+})
۷۲	۴-۴- جذب کرم (Cr^{6+})
۷۴	۴-۵- جذب جیوه (Hg^{2+})
۷۶	۴-۶- جذب روی (Zn^{2+})
۷۸	۴-۷- مقایسه جذب عناصر
۸۲	۴-۹- عبور نمونه‌ی آب حاوی تمامی عناصر ($Pb^{2+}, Cd^{2+}, Zn^{2+}, Cr(III,VI), Hg^{2+}$)
۸۴	۴-۴- زئولیت در چه زمانی اشباع می‌شود؟
۹۱	فصل پنجم: (نتیجه‌گیری نهایی و پیشنهادات)
۹۲	۱- مقدمه
۹۳	۲- جمع بندی نحوه تشکیل زئولیت‌های منطقه افتر
۹۴	۳- جمع بندی رفع فلزات سنگین از نمونه‌ی آب
۹۵	۴- پیشنهادات
۹۷	مراجع
۱۰۶	پیوست‌ها

فهرست جدول‌ها

عنوان و شماره

صفحه

جدول ۱-۱: لیست کانی‌های شناسایی شده در دو سده اخیر.....	۳
جدول ۱-۲: اسامی برخی زئولیت‌ها با فرمول شمیایی مربوطه	۵
جدول ۱-۳: برخی خصوصیات معادن زئولیت در ایران (برگرفته از سازمان زمین‌شناسی کشور)	۲۳.
جدول ۳-۱: نتایج آنالیزهای XRD نمونه‌های برداشت شده از معدن افتر بر گرفته از شکل ۵-۳	۴۷
جدول ۳-۲: نتایج آنالیز شیمیایی نمونه‌های سنگی برداشت شده از معدن افتر به روش XRF	۴۸
جدول ۳-۳: تعیین فرمول سلول واحد در نمونه‌های زئولیتی برداشت شده از معدن افتر، با توجه به نتایج آنالیزهای XRF	۵۰
جدول ۴-۱: مقادیر وزنی فلزات سنگین حل شده در ۱ لیتر نمونه‌ی آب	۶۴

جدول ۴-۲: نتایج آنالیزهای XRF زئولیت با دانه‌بندی متفاوت پس از عبور نمونه‌ی آب حاوی سرب	۶۷
جدول ۴-۳: نتایج آنالیزهای XRF زئولیت با دانه‌بندی متفاوت پس از عبور نمونه‌ی آب حاوی کادمیوم	۶۹
جدول ۴-۴: نتایج آنالیزهای XRF زئولیت با دانه‌بندی متفاوت پس از عبور نمونه‌ی آب حاوی کرم (Cr^{3+})	۷۲
جدول ۴-۵: نتایج آنالیزهای XRF زئولیت با دانه‌بندی متفاوت پس از عبور نمونه‌ی آب حاوی کرم (Cr^{6+})	۷۴
جدول ۴-۶: نتایج آنالیزهای XRF زئولیت با دانه‌بندی متفاوت پس از عبور نمونه‌ی آب حاوی جیوه	۷۶
جدول ۴-۷: نتایج آنالیزهای XRF زئولیت با دانه‌بندی متفاوت پس از عبور نمونه‌ی آب حاوی روی	۷۸
جدول ۴-۸: مقادیر وزنی فلزات سنگین حل شده در برای تهییه نمونه‌ی آب حاوی 1000 ppm فلز سنگین	۸۵

فهرست شکل‌ها

عنوان و شماره

صفحه

شكل ۱-۱: نمایی از ساختار زئولیت (موقعیت کانال و سایت‌های منفی در آن کاملاً مشخص است). ^۶	۶
شكل ۱-۲: واحدهای ساختمانی محدود یا نامحدود که در ارائه طبقه‌بندی ششگانه زئولیت‌ها مورد استفاده قرار می‌گیرند..... ^۷	۷
شكل ۱-۳: نمایی از تخلخل بین شبکه‌ای و موقعیت کانال‌ها در زئولیت نوع کلینوپتیولیت .. ^۸	۸
شكل ۱-۴: نیمرخ تشکیل زئولیت در دریاچه‌های سور قلیایی (سیستم‌های هیدرولوژیکی بسته) ^{۱۰}	۱۰
شكل ۱-۵: نیمرخ تشکیل زئولیت در سیستم‌های هیدرولوژیکی باز .. ^{۱۲}	۱۲
شكل ۱-۶: نمودار دما – فشار رخساره‌های دگرگونی .. ^{۱۴}	۱۴
شكل ۱-۷: نمودار دما – فشار، نشان دهنده مقادیر دما و فشار تشکیل زئولیت در محیط‌های دگرگونی درجه پایین .. ^{۱۴}	۱۴
شكل ۱-۸: نیمرخ تشکیل زئولیت در محیط‌های گرمابی (سنگ‌های دگرگونی درجه پایین) .. ^{۱۶}	۱۶
شكل ۱-۹: نیمرخ تشکیل زئولیت در دیاژنز دفنی (سنگ‌های دگرگونی درجه پایین)..... ^{۱۷}	۱۷
شكل ۱-۱۰: نمایی از فرآیند جذب سطحی در سطح زئولیت .. ^{۱۹}	۱۹
شكل ۱-۱۱: نقشه پراکندگی زئولیت در ایران..... ^{۲۴}	۲۴
شكل ۲-۱: نقشه راه‌ها و موقعیت معادن در استان سمنان .. ^{۲۷}	۲۷
شكل ۲-۲: موقعیت جغرافیایی معدن افتر در نقشه ۱:۲۵۰۰۰۰ چهار گوش سمنان .. ^{۲۸}	۲۸
شكل ۲-۳: منطقه داخل خط چین، لایه زئولیتی و مورد بهره‌برداری معدن افتر (دید به سمت جنوب منطقه) .. ^{۲۹}	۲۹
شكل ۲-۴: نمایی از منطقه مورد بهره‌برداری زئولیت‌های معدن افتر .. ^{۲۹}	۲۹
شكل ۲-۵: تمایی از درب ورودی معدن زئولیت افتر .. ^{۳۰}	۳۰
شكل ۲-۶: منطقه افتر و گسل‌های محدوده افتر (نقل از نقشه ۱:۱۰۰۰۰ چهار گوش افتر)..... ^{۳۱}	۳۱
شكل ۲-۷: نقشه زمین‌شناسی منطقه افتر (بر گرفته از نقشه زمین‌شناسی منطقه افتر در سازمان صنایع و معادن استان سمنان تهیه شده توسط جمشید افتخارنژاد، ۱۳۸۳) .. ^{۳۶}	۳۶
شكل ۳-۱: نمایی از مارن‌های سبز رنگ به همراه درون لایه‌هایی از ماسه سنگ توفی در صحراء .. ^{۴۰}	۴۰
شكل ۳-۲: نمایی از توفهای سبز رنگ در صحراء .. ^{۴۱}	۴۱
شكل ۳-۳: نمایی از زئولیت‌های معدن افتر در صحراء .. ^{۴۲}	۴۲

شکل ۳-۴: نمایی از زئولیت‌های مورد بهره‌برداری معدن افتر	۴۳
شکل ۳-۵: نتایج آنالیزهای XRD	۴۵، ۴۶
شکل ۳-۶: ترسیم عناصر اصلی نمونه‌های زئولیتی جدول ۲-۳ در نمودار AFM	۴۷
شکل ۳-۷: نمودار محیط تشکیل زئولیت	۴۹
شکل ۳-۸: نمودار سه فازی $\text{Si}_4\text{O}_8\text{-}(\text{Na},\text{K})_2\text{Al}_2\text{Si}_2\text{O}_8\text{-}(\text{Ca},\text{Mg},\text{Sr},\text{Ba})\text{Al}_2\text{Si}_2\text{O}_8$ (بر اساس ترکیب زئولیت‌های افتر در سلول واحد)	۵۰
شکل ۳-۹: ترکیب زئولیت‌های منطقه افتر در نمودار سه فازی $\text{CaO}\text{-}\text{K}_2\text{O}\text{-}\text{Na}_2\text{O}$	۵۱
شکل ۳-۱۰: تصاویر میکروسکوپی از مارن‌های سبز رنگ همراه با فسیل‌های موجود	۵۲
شکل ۳-۱۱: تصاویر میکروسکوپی از توف‌های سبز رنگ	۵۴
شکل ۳-۱۲: تصاویر میکروسکوپی از لایه زئولیتی	۵۶
شکل ۳-۱۳: تصاویر میکروسکوپی از اکسید آهن در سطح زئولیت‌های منطقه افتر	۵۶
شکل ۴-۱: تصویری از زئولیت الک شده با دانه‌بندی مخلوط ۰/۲۵، ۱، ۰/۷۱ mm	۶۱
شکل ۴-۲: تصویری از لوله‌های پر شده از زئولیت	۶۲
شکل ۴-۳: نمای شماتیکی از نحوه انجام آزمایش بار افتان	۶۳
شکل ۴-۴: نمودارهای درصد جذب سرب بر حسب نفوذپذیری و زمان	۶۶
شکل ۴-۵: نمودارهای درصد جذب کادمیوم بر حسب نفوذپذیری و زمان	۶۸
شکل ۴-۶: نمودارهای درصد جذب کرم (III) بر حسب نفوذپذیری و زمان	۷۱
شکل ۴-۷: نمودارهای درصد جذب کرم (VI) بر حسب نفوذپذیری و زمان	۷۳
شکل ۴-۸: نمودار درصد جذب جیوه بر حسب نفوذپذیری و زمان	۷۵
شکل ۴-۹: نمودار درصد جذب روی بر حسب نفوذپذیری و زمان	۷۷
شکل ۴-۱۰: نمودارهای درصد عناصر بر حسب نفوذپذیری و زمان در دانه‌بندی ۱ mm	۷۹
شکل ۴-۱۱: نمودارهای درصد جذب عناصر بر حسب نفوذپذیری و زمان در دانه‌بندی ۰/۷۱ mm	۸۰
شکل ۴-۱۲: نمودارهای درصد جذب عناصر بر حسب نفوذپذیری و زمان در مخلوط دانه‌بندی ۰/۷۱، ۱ mm	۸۱
شکل ۴-۱۳: نمودارهای درصد عناصر بر حسب نفوذپذیری و زمان در دانه‌بندی ۱ mm	۸۳
شکل ۴-۱۴: نمودارهای درصد جذب عناصر بر حسب نفوذپذیری و زمان در دانه‌بندی ۰/۷۱ mm	۸۳
شکل ۴-۱۵: نمودارهای درصد جذب عناصر بر حسب نفوذپذیری و زمان در مخلوط دانه‌بندی ۰/۷۱، ۱ mm	۸۴

شكل ۴-۱۶: مقایسه توانایی جذب ۱ گرم زئولیت از نمونه‌ی آب حاوی ۱۰۰۰ ppm از عناصر سرب، کادمیوم، کرم (III,VI)، روی و جیوه در سایز دانه‌های متفاوت و نمونه‌برداری در زمان‌های ۴۸، ۲۴ و ۸۶ ساعت

شكل ۴-۱۷: مقایسه گزینش‌پذیری جذب فلزات سنگین توسط ۱ گرم زئولیت با سایز دانه‌های mm ۱ و ۸۷

شكل ۴-۱۸: مقایسه گزینش‌پذیری جذب فلزات سنگین توسط ۱ گرم زئولیت با سایز دانه‌های mm ۸۸ و ۷۱

شكل ۴-۱۹: مقایسه گزینش‌پذیری جذب فلزات سنگین توسط ۱ گرم زئولیت با مخلوط دانه‌بندی ۸۹ و ۷۱، ۱ mm

فصل اول

کلیات

۱-۱- تاریخچه

زئولیت^۱ از واژه‌های یونانی زئو^۲ (جوشیدن) و لیت^۳ (سنگ) گرفته شده است. برای اولین بار کرنشتد^۴ در سال ۱۷۵۶ این واژه را برای کانی‌هایی که در هنگام گرم شدن، مقادیری آب از خود خارج می‌سازند و به نظر می‌رسد که می‌جوشند، به کار برده است. [۱]

در سال ۱۸۵۴ مشخص شد بعضی از خاک‌ها توانایی آن را دارند تا نمک‌های آمونیم را در خود نگاه دارند و در سال ۱۸۵۰ میلادی برای اولین بار به عنوان الک مولکولی جهت جدایش گازهای مخلوط به کار گرفته شد. دامور در سال ۱۸۳۷ دریافت، بی‌آنکه شبکه زئولیت‌ها از هم بپاشد و ویران شود، می‌توانند آب خود را از دست بدهند یا آبگیری کنند [۲]. فریدل در سال ۱۸۹۶ پی‌برد که مایعات گوناگون مانند بنزین، الکل، کلروفرم و جیوه به وسیله زئولیت‌هایی که آب خود را از دست داده‌اند، جذب می‌شوند [۳]. در سال ۱۹۰۹ گراندجوئن نشان داد که بعضی از زئولیت‌ها نظیر شابازیت دارای خاصیت جذب برخی از گازها نظیر هیدروژن، اسیدسولفوریک، آمونیاک غیره می‌باشند [۴].

در سال ۱۹۲۵ ویگل، استیننهوف و در سال ۱۹۳۲ مسیبان، به ویژگی غربال مولکولی زئولیت‌های آبزدایی شده پی‌بردند [۵-۶]. در سال ۱۹۱۴ یک فهرست نوزده تایی از زئولیت‌ها ارائه شد و از آن به بعد به طور میانگین هر سه سال یک نوع

¹ Zeolite

² Zeo

³ Lite

⁴ Cronstedt

زئولیت جدید کشف شد. بالغ بر ۸۵ نوع زئولیت مختلف در طبیعت وجود دارد [۷]. در بررسی‌های آغازین، تنها بلورهای زئولیتی با خاستگاه گرمابی موجود در سنگ‌های آذرین به عنوان زئولیت شناخته می‌شدند و از آنجایی که اینگونه زئولیت‌ها، انباشته‌ها یا کانسارهایی اقتصادی و مطلوب نبودند، لذا شیمیدان‌ها تلاش‌های فراوان کردند تا بتوانند زئولیت‌ها را به طور مصنوعی تهیه کنند. ساخت نخستین زئولیت‌های مصنوعی در سال ۱۸۹۰ گزارش شده است، برای مثال هیولاندیت^۱، کلینوپتیلولیت^۲ و موردنیت^۳ به ترتیب در سال‌های ، ۱۹۶۳، ۱۹۷۷ و ۱۹۸۴ و بطور مصنوعی ساخته شدند.

جدول ۱-۱: لیست کانی‌های زئولیت شناسایی شده در دو سده اخیر [۱].

نام زئولیت	سال اکتشاف	نام زئولیت	سال اکتشاف	نام زئولیت	سال اکتشاف
استیلیبیت	۱۷۵۶	هرشلیت	۱۸۲۵	بیکیتایت	۱۹۵۷
ناترولیت	۱۷۵۸	ادینگتونیت	۱۸۲۵	پائولینگیت	۱۹۶۰
شاپاریت	۱۷۷۲	فاجوسیت	۱۸۴۲	گارونیت	۱۹۶۲
هارمتون	۱۷۷۵	موردنیت	۱۸۶۴	روگانیت	۱۹۶۹
آنالسیم	۱۷۸۴	کلینوپتیلولیت	۱۸۹۰	تتراگونال- ناترولیت	۱۹۶۹
لامومتیت	۱۷۸۵	افرینیت	۱۸۹۰	ماززیت	۱۹۷۲
تامسونیت	۱۸۰۱	اریونیت	۱۸۹۰	باروریت	۱۹۷۴
اسکوسیت	۱۸۰۱	کهوهیت	۱۸۹۳	کاولسیت	۱۹۷۵
هیولاندیت	۱۸۰۱	گوناردیت	۱۸۹۶	مرلینویت	۱۹۷۶
ژملینیت	۱۸۰۷	داقیردیت	۱۹۰۵	اسوتلوزاریت	۱۹۷۶
مزولیت	۱۸۱۳	استیریت	۱۹۰۹	امیسیت	۱۹۷۶
ژیسمود بت	۱۸۱۶	فریریت	۱۹۱۸	پاردیت	۱۹۷۹
بروستریت	۱۸۲۲	ویسیت	۱۹۴۲	پراتاترئلیت	۱۹۸۰
اپیستیلیبیت	۱۸۲۳	یوگاوارالیت	۱۹۵۲	گوسریکیت	۱۹۸۰
فیلیپسیت	۱۸۲۴	واراکیت	۱۹۵۵	گوبنیسیت	۱۹۸۲
لیونیت	۱۸۲۵	ولسیت	۱۹۵۵	ویلهندرسونیک	۱۹۸۴

^۱ Heulandite

^۲ Clinoptilolite

^۳ Mordenite